

УДК 531.19, 519.24

(c) C. P. Галлямов, С. А. Мельчуков

## О НЕСКЕЙЛИНГЕ ВЕРОЯТНОСТИ ПРОТЕКАНИЯ ПРОСТОЙ КУБИЧЕСКОЙ РЕШЁТКИ: ТЕОРИЯ И КОМПЬЮТЕРНЫЙ ЭКСПЕРИМЕНТ

На основе известных свойств функции вероятности протекания простой кубической решётки размера  $L = 2$  в приближении линейной связи порога протекания бесконечной решётки  $x_c$  и среднего значения  $x_{cL}$  конечной решётки введена нескейлинговая функция вероятности протекания для решётки размера  $L > 2$ . Показано, что на пороге протекания нескейлинговые вероятности для всех ПК решёток одинаковы.

Компьютерные эксперименты на основе метода Монте-Карло согласуются с предлагаемой в работе теорией.

*Ключевые слова:* перколяция, решётка, вероятность протекания, нескейлинг, компьютерный эксперимент.

### Введение

В теории перколяции вероятность протекания  $P = P(x)$  как функция от концентрации  $x$  интересующей нас фазы является основной характеристикой перколяционной системы. Через вероятность протекания можно выразить свойства физических величин, зависящих от топологии больших кластеров, например, спонтанную намагниченность  $M(x)$  или проводимость  $\sigma(x)$  [1].

Общепринятое скейлинговое описание поведения  $P(x)$  и  $\sigma(x)$  при помощи критических индексов  $\beta$  и  $t$ :  $P(x) \propto |x - x_c|^\beta$  и  $\sigma(x) \propto |x - x_c|^t$  применимо вблизи критической концентрации  $x_c$  и для системы бесконечных размеров [2, 3, 4].

Известно, что численное моделирование физических процессов можно осуществлять на решётках больших, но конечных размеров ввиду ограниченных возможностей любого компьютера. В настоящее время точное выражение для  $P = P(x, L)$  как функции от концентрации  $x$  и размера решётки  $L$  неизвестны для пространств размерности  $d > 1$ . Для теории и практики интерес представляет простая кубическая (далее ПК) решётка размера  $L > 2$  в задаче узлов.

В § 1 данной работы на основе упрощающих допущений введена функция  $P(x, L)$  для конечных решёток и в широком диапазоне  $0 < x < 1$ , что являлось основной целью данной работы. Эта цель достигалась на основе результата из [5] для функции  $P(x)$  ПК решётки размера  $L = 2$  в приближении [6] о линейной связи порога протекания бесконечной решётки  $x_c$  со средним значением  $x_{cL}$  конечной решётки в трёхмерном случае.

В § 2 представлена вычислительная схема компьютерного эксперимента по определению величин, необходимых для задания функции  $P(x, L)$ .

Для краткости функцию, характеризующую какое-либо *перколяционное свойство* (вероятность протекания  $P(x, L)$  в том числе) *конечной решётки* в широком интервале концентрации  $x$  интересующей нас фазы, мы условно назвали *нескейлинговой функцией*, или *нескейлингом*. В качестве нескейлинга можно рассматривать средний размер конечного кластера (скейлинговое описание которого общепринято записывать через критический индекс  $\gamma$ :  $S(x) \propto |x - x_c|^{-\gamma}$ ), а также другие важные характеристики перколяционной системы, которые вблизи критической точки  $x_c$  описываются показательной функцией с различными критическими индексами.

### § 1. Нескейлинговая модель вероятности протекания ПК решётки

Вероятностные свойства двухфазной системы будем получать в задаче узлов. Для этого рассмотрим статистический ансамбль, образованный большим (в пределе бесконечно большим) числом  $N$  двухфазных систем. Каждая двухфазная система размера  $L$  статистического ансамбля состоит из проводящей и непроводящей фаз, распределенных случайно на  $L^3$  узлах ПК решётки, а  $x$  — это доля узлов интересующей нас фазы.

Вероятность протекания  $P(x, L)$  случайно выбранного узла решётки размера  $L$  определяется как  $P(x, L) = xY(x, L)$ , где  $Y(x, L)$  — условная вероятность того, что выбранный с вероятностью  $x$  узел, интересующей нас фазы принадлежит соединяющему кластеру (spanning cluster). Функция  $Y(x, L)$  введена в [5] как

$$Y(x, L) = \frac{1}{1 + \exp[-S(x, L)]}, \quad S(x, L) = \sum_{n=1}^N a_n (x^n - x_{cL}^n), \quad (1.1)$$

для задания которой, а значит и для задания  $P(x, L)$ , необходимо знать коэффициенты степенного ряда  $a_n$  и  $x_{cL}$ , здесь  $N = K - 1$ ,  $K$  — число нетривиальных точек  $Y_i(x_i)$ ,  $x_{cL}$  соответствует условию  $Y(x_{cL}, L) = 1/2$ .

Для решёток с  $L > 2$  аналитическое определение  $a_n$  проблематично, однако для элементарного кубика ПК решётки ( $L = 2$  и  $K = 3$ ) определены точные значения  $x_{cL}$  и двух коэффициентов  $a_1$  и  $a_2$  [5]:

$$x_{c2} = 0,3989085; \quad a_1 = 8 \ln(9/2) \quad \text{и} \quad a_2 = 0. \quad (1.2)$$

Здесь и ниже численные значения величин приводятся с точностью, совпадающей с точностью представленной в литературе (например, в [4, 7]) значением порога протекания ПК решётки.

Равенство нулю  $a_2$  (при  $a_1 \neq 0$ ) для  $L = 2$  явилось основой для важного в дальнейшем моделирующего допущения: для ПК решёток размером  $L > 2$  коэффициенты ряда  $a_n$  в (1.1) равны нулю, начиная с  $n = 2$ ,

$$a_n = 0, \quad \text{при } n > 1, \quad (1.3)$$

то есть  $x_{cL}$  является точкой перегиба функции  $Y(x, L)$  для решёток всех размеров, так как ее вторая производная в точке  $x_{cL}$  при условии (1.3) равна нулю:

$$Y''_{xx}(x_{cL}) = \frac{1}{4} \sum_{n=1}^N n(n-1)a_n x_{cL}^{n-2} = 0, \quad (1.4)$$

при этом  $a_1 \neq 0$  не нарушает условия (1.4).

Теперь для задания функции  $Y(x, L)$ , а значит и для  $P(x, L)$ , необходимо знать только функции  $a_1 = a_1(L)$  и  $x_{cL} = x_{cL}(L)$ , то есть  $S(x, L)$  в (1.1) приобретает простой вид

$$S(x, L) = a_1(L)(x - x_{cL}). \quad (1.5)$$

В [5] результат (1.2) использован для вычисления порога протекания бесконечной кубической решётки  $x_c$  из уравнения

$$\frac{1}{2} + \frac{a_1(2)(x_c - x_{c2})}{4} = \frac{x_c}{1 + x_c}, \quad (1.6)$$

которое легко преобразуется к виду  $x_{c2} = x_c + \frac{\text{const}}{a_1(2)}$  или формально для решётки размера  $L$ :

$$x_{cL} = x_c + \frac{C}{a_1(L)}, \quad (1.7)$$

где  $C$  — константа.

Покажем, что  $x_{cL}$  является (дополнительно к сказанному выше) средним значением случайной величины  $x$ , функция распределения которой задана как  $Y(x, L)$ . Известно, что среднее значение  $M_x$  (математическое ожидание) случайной величины  $x$ , функция распределения которой есть  $Y(x, L)$ , определяется как [8]:

$$M_x = \int_0^\infty [1 - Y(x, L)]dx, \quad (1.8)$$

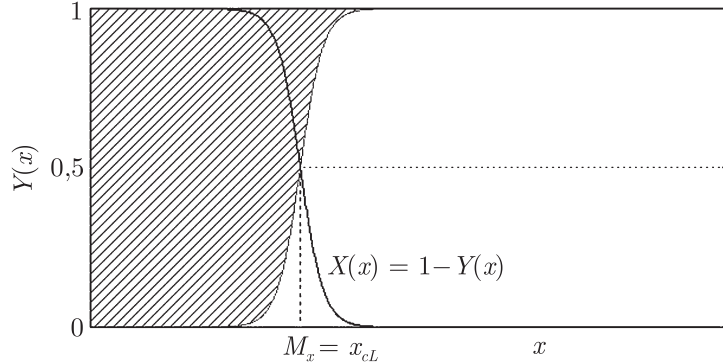
то есть  $M_x$  геометрически может быть представлено площадью над кривой  $Y(x, L)$  (рис. 1). Интегрируя (1.8) в указанных пределах, с учетом связи

$$X(x, L) = 1 - Y(x, L), \quad (1.9)$$

где  $X(x, L)$  является условной вероятностью того, что выбранный с вероятностью  $x$  узел интересующей нас фазы, принадлежит конечному кластеру (closed clusters), получим

$$M_x = \int_0^\infty X(x, L)dx = \frac{1}{a_1(L)} \ln [1 + \exp(a_1(L)x_{cL})]. \quad (1.10)$$

Оценка для элементарного кубика ПК решётки при значениях из (1.2) показывает, что в (1.10)  $\exp[a_1(2)x_{cL}] \gg 1$  (ниже будет показано, что  $a_1(L) = a_1(2)L/2$ , поэтому для решёток с  $L > 2$  тем более  $\exp[a_1(L)x_{cL}] \gg 1$ ), тогда в результате интегрирования (1.10) получаем  $M_x = x_{cL}$ , то есть с большой точностью  $x_{cL}$  является средним значением  $x$ , функция распределения которой является  $Y(x, L)$ .



**Рис. 1.** Среднее значение случайной величины  $M_x$  есть площадь (заштрихована) над кривой  $Y(x, L)$  и равна  $x_{cL}$

Интеграл в (1.10) можно представить как сумму двух интегралов:

$$M_x = \int_0^\infty X(x, L)dx = \int_0^1 X(x, L)dx + \int_1^\infty X(x, L)dx = \int_0^1 X(x, L)dx,$$

тогда

$$I = \int_0^1 X(x, L)dx = x_{cL}, \quad (1.11)$$

так как  $X(x, L) = 0$  при  $x \geq 1$ .

В [6] для определения порога протекания бесконечной решётки  $x_c$  через среднее значение  $x_{cL}$  конечной решётки предложена простая связь для трехмерных решёток:

$$x_{cL} = x_c + \frac{A}{L}, \quad (1.12)$$

где  $A$  — константа.

Сравнивая (1.7) и (1.12), можно увидеть, что  $a_1$  для решётки размера  $L$  будет линейной функцией от  $L$ , тогда  $a_1(L)$  и  $x_{cL}$  можно определять аналитически как

$$a_1(L) = \frac{a_1(2)L}{2} \quad (1.13)$$

и

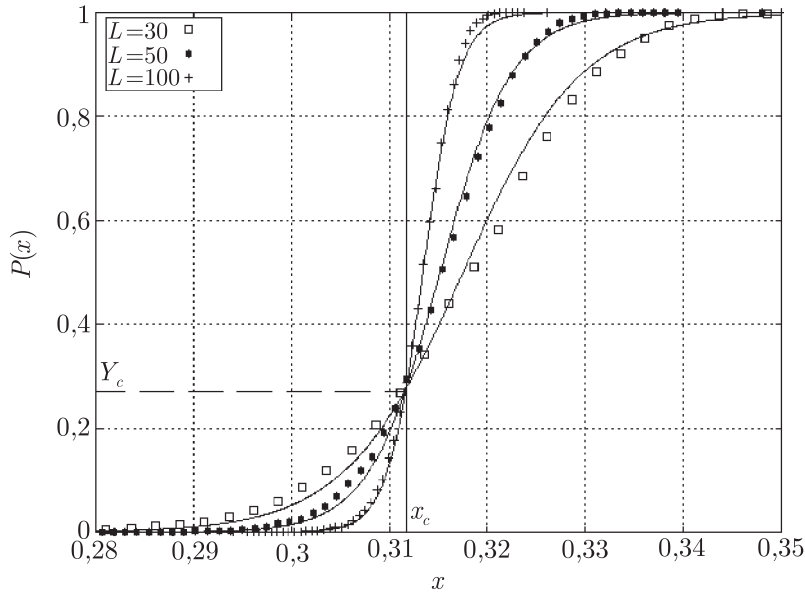
$$x_{cL} = \frac{2x_{c2} + x_c(L-2)}{L}, \quad (1.14)$$

а нескейлинговые функции  $Y(x, L)$  и  $P(x, L)$  приобретают окончательный вид для ПК решётки:

$$Y(x, L) = \frac{1}{1 + \exp[-a_1(L)(x - x_{cL})]} \quad \text{и} \quad P(x, L) = \frac{x}{1 + \exp[-a_1(L)(x - x_{cL})]}, \quad (1.15)$$

где  $a_1(L=2) = 8 \ln(9/2)$ ,  $x_{c2} = 0,3989085$ ,  $x_c = 0,3116865$  определены в [5].

Последние два значения позволяют легко вычислить константу  $A$  в (1.12) при  $L=2$ :  $A = 0,1744440$ . Поэтому следует ожидать, что на пороге протекания значения функций  $Y(x_c, L) = 1/\{1 + \exp[a_1(2)A/2]\} = Y_c$  и  $P(x_c, L) = x_c Y_c$  не зависят от размера ПК решётки. Другими словами графики (на рис. 2 сплошные кривые) функций  $Y(x, L)$  должны пересекаться в одной точке с координатами  $x_c = 0,3116865$  и  $Y_c = 0,2593194$ , а графики (на рис. 3 сплошные кривые) функций  $P(x, L)$  в точке с координатами  $x_c = 0,3116865$  и  $P_c = 0,0808264$ .



**Рис. 2.** Экспериментальные точки ПК решётки при  $L = 30, 50$  и  $100$  практически лежат на теоретических кривых  $Y(x, L)$ , которые (сплошные) пересекаются в критической точке  $x_c$ . Вертикальная линия при  $x_c = 0,3116865$  (задача узлов) соответствует переколяционному переходу для бесконечной решётки — предельной функции условной вероятности протекания  $Y(x, L \rightarrow \infty)$ . На пороге протекания функции  $Y(x, L)$  одинаковы и равны  $Y(x_c, L) = Y_c = 0,2593194$  независимо от размера решётки  $L$  (горизонтальная штриховая линия)

Это свойство конечных ПК решёток можно использовать для введения понятия критической точки  $x_c$  (порог протекания) для бесконечной ПК решётки как точки, где значения нескейлинговых функций по (1.15) одинаковы для всех конечных решёток. Другими словами, нескейлинг конечной решётки превращается в скейлинг («закон подобия») в единственной точке, называемой критической. Такой результат подтверждает гипотезу подобия Каданова–Вильсона [9, 10], которая применительно к переколяционной системе дает нам самоподобие бесконечного (соединяющегося) кластера.

## § 2. Компьютерный эксперимент

Компьютерные испытания проводились в целях проверки изложенной в § 1 теоретической модели.

Получим выражения, по которым можно определять функции  $a_1 = a_1(L)$  и  $x_{cL} = x_{cL}(L)$  из компьютерного эксперимента. Для этого используем результаты интегрирования функций  $Y(x, L)$  и  $X(x, L)$  в интересующих нас пределах. Так, согласно (1.11),

$$I_1 = \int_0^1 Y(x, L) dx = 1 - x_{cL}, \quad (2.1)$$

а также

$$I_2 = \int_0^{x_{cL}} Y(x, L) dx = \frac{\ln 2}{a_1(L)}, \quad (2.2)$$

$$I_3 = \int_{x_{cL}}^1 Y(x, L) dx = 1 - x_{cL} - \frac{\ln 2}{a_1(L)}, \quad (2.3)$$

$$S_3 = \int_{x_{cL}}^1 X(x, L) dx = \frac{\ln 2}{a_1(L)}. \quad (2.4)$$

При интегрировании полагалось, что для  $L > 2$

$$\exp[-a_1(L)(1 - x_{cL})] \ll 1 \quad \text{и} \quad \exp[a_1(L)x_{cL}] \gg 1, \quad (2.5)$$

так как, согласно (1.13),  $a_1(L) \approx 6L \gg 1$ .

Интегралы  $I_1$ ,  $I_2$  и  $I_3$  выражают площади под кривой  $Y(x, L)$  при соответствующих пределах, а интеграл  $S_3$  — площадь под кривой  $X(x, L)$  или площадь над кривой  $Y(x)$ . Поэтому, заменяя интеграл  $I_1$  по (2.1) конечной суммой, с большой точностью можно определить  $x_{cL}$  для решётки размера  $L$  по экспериментальным точкам  $x_i$ ,  $Y_i(x_i)$ :

$$x_{cL} = 1 - \frac{1}{2} \sum_{i=1}^k (x_{i+1} - x_i)(Y_{i+1} + Y_i), \quad (2.6)$$

где  $k$  может принимать максимальное значение  $k_{\max} = 1/h_{\min}$ , если  $h_{\min} = 1/L^3$  — минимально возможный шаг по  $x$ .

Каждое экспериментальное значение  $Y_i(x_i)$  определялось из компьютерных испытаний методом Монте-Карло:

$$Y_i(x_i) = \frac{N_x}{N}, \quad (2.7)$$

где  $N$  — общее число двухфазных систем (сгенерированных в процессе компьютерного эксперимента) в статистическом ансамбле,  $N_x$  — число систем в ансамбле, в которых образовался соединяющий (бесконечный) кластер при данном значении  $x$  и размере ПК решётки  $L$ .

Напомним, что каждая двухфазная система статистического ансамбля состоит из проводящей и непроводящей фаз, распределенных случайно на  $L^3$  узлах ПК решётки, а  $x$  — это доля узлов интересующей нас фазы.

Для экспериментального определения  $a_1(L)$  заменим сумму интегралов  $I_2$  и  $S_3$  конечной суммой  $I_2 + S_3 = S$  в виде

$$S = \frac{1}{2} \left\{ \sum_{i=1}^m [(x_{i+1} - x_i)(Y_{i+1} + Y_i)] + \sum_{j=1}^n [(x_{j+1} - x_j)(X_{j+1} + X_j)] \right\}, \quad (2.8)$$

где  $m = x_{cL}/h_m$ ,  $n = (1 - x_{cL})/h_n$ ,  $h_m$  — шаг по  $x$  в интервале от 0 до  $x_{cL}$ , а  $X_{j+1}$  и  $X_j$  определяются из связи (1.9) в интервале от  $x_{cL}$  до 1 с шагом  $h_n$ .

Область заметного изменения нескейлинговой функции  $Y(x, L)$  будем характеризовать шириной перехода  $\Delta x = 4/a_1(L)$ , тогда для достижения наибольшей точности компьютерных экспериментов необходимо, чтобы в области  $\Delta x$  шаги  $h_m$  и  $h_n$  были минимальными:  $h_{\min} = 1/L^3$ .

Определив сумму  $S$  из (2.2) и (2.4), находим экспериментальное значение  $a_1(L)$ :

$$a_1(L) = \frac{2 \ln 2}{S}, \quad (2.9)$$

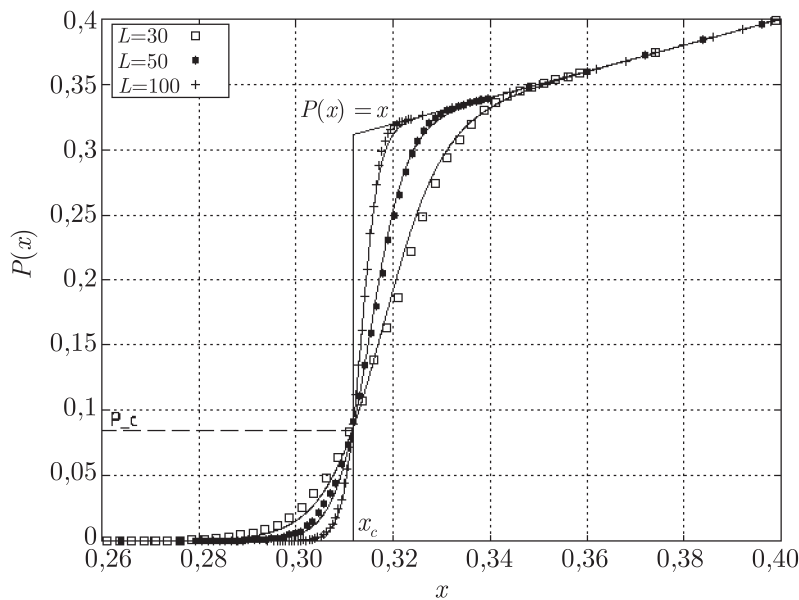
где  $S$  определяется по (2.8).

В компьютерных экспериментах число систем в статистическом ансамбле задавалось от  $10^4$  до  $10^6$  в зависимости от размера решётки  $L$ , который принимал значения от 3 до 100, а вычисления выполнялись на вычислительном кластере и SMP-системах с применением интерфейса MPI.

### § 3. Обсуждение результатов

Основные результаты работы представлены графически на рис. 2–5.

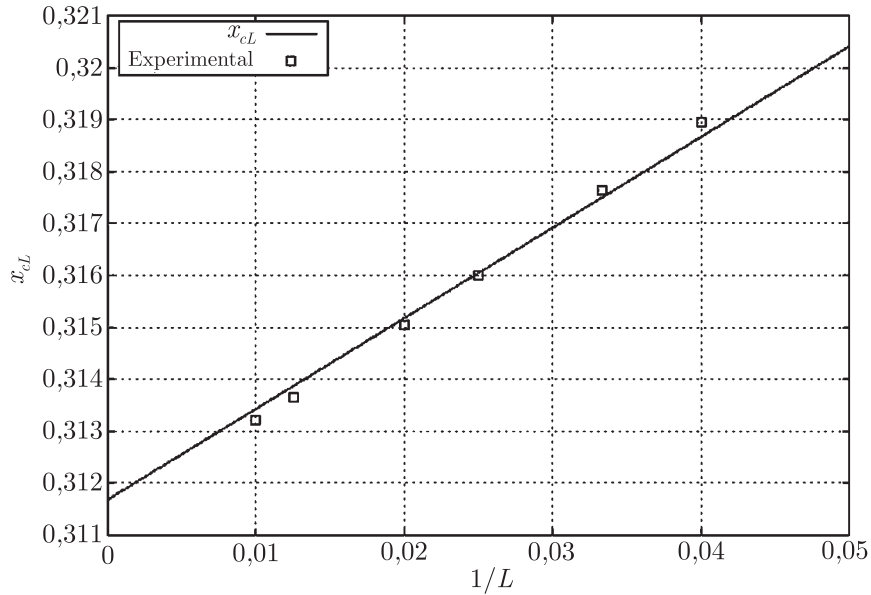
На рис. 2 и 3 показано, что теоретические (сплошные кривые) и экспериментальные нескейлинговые функции  $Y(x, L)$  и  $P(x, L)$  практически совпадают. В качестве меры несовпадения (ошибки) экспериментального нескейлинга  $Y(x, L)$  и предложенного в §1 теоретического по (1.15) использовано стандартное отклонение  $\sigma_{YL} = \sqrt{D_{YL}}$ , где  $D_{YL} = (\Delta Y_L)^2$  есть дисперсия, вычисленная для нетривиальных точек случайной (экспериментальной) функции  $Y(x, L)$ . Так для  $L = 30, 50$  и  $100$  получены соответствующие значения стандартных отклонений  $\sigma_{Y30} = 0,025$ ;  $\sigma_{Y50} = 0,019$ ;  $\sigma_{Y100} = 0,014$ . На основе даже такой «пессимистичной» (занесённой) оценки стандартных отклонений можно сказать, что теория и эксперимент согласуются друг с другом.



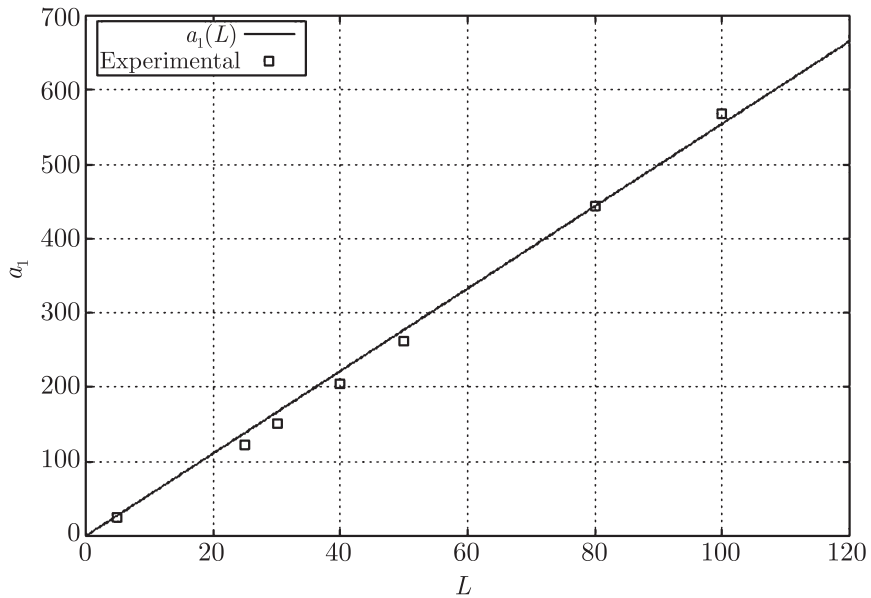
**Рис. 3.** В окрестности  $x_c$  нескейлинговые вероятности протекания ПК решётки  $P(x, L)$  для  $L = 30 ; 50$  и  $100$  (сплошные кривые) резко возрастают и пересекаются в критической точке  $x_c$ . Выше  $x_c$  и далее при  $x \rightarrow 1$  вероятности протекания  $P(x, L)$  возрастают практически линейно независимо от размера решёток  $L$ . На пороге протекания функции  $P(x, L)$  одинаковы и равны  $P(x_c, L) = P_c = 0,0808264$  независимо от размера решётки  $L$  (горизонтальная штриховая линия). Предельной функции вероятности протекания  $P(x, L \rightarrow \infty)$  соответствует вертикальная линия при  $x_c = 0,3116865$ , переходящая в (сплошную наклонную) прямую  $P(x) = x$  при  $x > x_c$

Такое же согласие теории по формулам (1.12) и (1.13) и компьютерного эксперимента по вычислению среднего значения  $x_{cL}$  и коэффициентов  $a_1(L)$  видно соответственно на рис. 4

и 5, на которых линейная зависимость (в первом случае от обратного размера решётки, а во втором случае от размера решётки) подтверждается.



**Рис. 4.** Линейная зависимость (сплошная прямая)  $x_{cL}$  от обратного размера решётки по формуле (1.12) и полученные в компьютерных экспериментах значения  $x_{cL}$  для ПК решеток размерами  $L = 25; 30; 40; 50; 80$  и  $100$  (задача узлов)



**Рис. 5.** Линейная зависимость (сплошная прямая) коэффициента  $a_1(L)$  от размера решётки по формуле (1.13) и полученные в компьютерных экспериментах значения  $a_1(L)$  для ПК решеток размерами  $L = 3; 25; 30; 40; 50; 80$  и  $100$  (задача узлов)

#### § 4. Выводы

- Допущение о том, что для ПК решёток размером  $L > 2$  коэффициенты ряда  $a_n$  в (1.1) равны нулю, начиная с  $n = 2$ , и второе допущение о линейной связи порога протекания бесконечной решётки  $x_c$  и среднего значения  $x_{cL}$  конечной решётки по (1.12), предложенное авторами [6], позволили ввести простую модель поведения нескейлинговых вероятностей по (1.15), что подтверждается экстенсивным компьютерным моделированием.

2. Модель поведения нескейлинговых вероятностей позволяет ввести понятие критической точки  $x_c$  (порог протекания) для бесконечной ПК решётки как точки, где значения нескейлинговых функций по (1.15) одинаковы для всех конечных решёток. Это подтверждает гипотезу подобия Каданова–Вильсона, которая применительно к перколяционной системе дает нам самоподобие бесконечного (соединяющего) кластера.

#### СПИСОК ЛИТЕРАТУРЫ

1. Займан Дж. Модели беспорядка. — М.: Мир, 1982. (Ziman J. M. Models of disorder. — N.Y.-London-Melbourne: Cambridge University Press, 1979.)
2. Эфрос А. Л. Физика и геометрия беспорядка. — М.: Наука, 1982. — 176 с. (Библиотечка «Квант». Вып. 19.)
3. Шкловский Б. И., Эфрос А. Л. Электронные свойства легированных полупроводников. — М.: Наука, 1979.
4. Тарасевич Ю. Ю. Перколяция: теория, приложения, алгоритмы. — М.: Едиториал УРСС, 2002. — 112 с.
5. Галлямов С. Р. Порог протекания простой кубической решётки в задаче узлов в модели решётки Бёте // Вестник Удмуртского университета. Математика. Механика. Компьютерные науки. — 2008. — Вып. 3. — С. 109–115.
6. Левинштейн М. Е., Шур М. С., Шкловский Б. И., Эфрос А. Л. О связи между критическими индексами теории протекания // ЖЭТФ. — 1975. — Т. 69. — С. 386.
7. Lorenz C. D., Ziff R. M. Universality of the excess number of clusters and the crossing probability function in three-dimensional percolation // J. Phys. A: Math. Gen. — 1998. — Vol. 31. — P. 8147–8157.
8. Вентцель Е. С., Овчаров Л. А. Задачи и упражнения по теории вероятностей. — М.: Высш. шк., 2006. — С. 123.
9. Kadanoff L. P. et al. Static Phenomena Near Critical Points: Theory and Experiment // Rev. Mod. Phys. — 1967. — Vol. 39. — P. 395–431.
10. Wilson K. G. Renormalization group and critical phenomena. 1. Renormalization group and Kadanoff scaling picture // Phys. Rev. — 1971. — Vol. B4. — P. 3174.

Поступила в редакцию 11.05.09

*S. R. Gallyamov, S. A. Mel'chukov*

**On nonscaling probability function for passing in a simple cubic lattice: theory and computer experiment**

Using known properties of the probability function for passing in a simple cubic lattice with  $L = 2$  in approximation of a linear relation between a passing threshold of an infinite lattice  $x_c$  and average value  $x_{cL}$  of a finite lattice, we introduce a nonscaling probability function of passing of a lattice with  $L > 2$ . We show that on the passing threshold nonscaling probabilities for all simple cubic lattices are the same. Computer experiments based on the Monte–Carlo method are in agreement with the theory proposed.

*Keywords:* percolation, lattice, passing probability, nonscaling, computer experiment.

Mathematical Subject Classifications: 60K, 82B

Галлямов Сергей Рафаэлович,  
ст. преп., кафедра общей физики,  
Удмуртский государственный университет, 426034, ул. Университетская, 1  
E-mail: galser@uni.udm.ru

Мельчуков Сергей Анатольевич,  
Ст. преп., кафедра высокопроизводительных вычислений и параллельного программирования,  
Удмуртский государственный университет, 426034, ул. Университетская, 1  
E-mail: sam@izh.com